

и частоты  $\omega_0 = 21,8$  (кривая 2), соответствующей впадине амплитуды стационарного поля.

На рис. 3 показан график нестационарного звукового поля  $p = rp_c/p_0$  ( $r \gg 1$ ) в зависимости от безразмерного времени  $\tau_1 = \tau - r$  для частоты  $\omega_0 = 21,9$  при  $\tau_0 = 2,0$  и  $r_2 = 0,9$ . Характерным для этого графика является то, что в точку наблюдения приходит только одна составляющая поля, вызванная излучением области сферы, находящейся под сосредоточенной силой. Другие составляющие, вызванные волнами Франца и волнами изгиба, имеют незначительную амплитуду, что полностью согласуется с рис. 1 (кривая 1). Аналогичные результаты при тех же параметрах получаются и при  $\omega_0 = 21,8$ .

На рис. 4 представлен график нестационарного звукового поля при частоте  $\omega_0 = 23,1$ , соответствующей пику амплитуды стационарного поля (см. рис. 1, кривая 2) при следующих параметрах:  $\tau_0 = 2,0$ ,  $r_2 = 0,6$ . Наличие вторичного компонента звукового поля вызвано, по-видимому, волнами, отраженными от внутренней поверхности сферического объекта.

1. Морс Ф. М., Фейсбах Г. Методы теоретической физики.— М.: Изд-во иностр. лит., 1960.— Т. 2. 886 с.
2. Нигул У. К., Метсавээр Я. А., Векслер Н. Д., Кутсер М. Э. Эхо-сигналы от упругих объектов.— Таллин: Изд-во АН ЭССР, 1974.— Т. 2. 345 с.
3. Bauer F. L., Rulishauer H., Stiefel S. New aspects in numerical quadrature.— Proc. Symp. Appl. Math., 1963, 15, p. 199—218.

Львовский университет

Поступила в редколлегию  
27.09.78

УДК 534.2:532

А. А. Лопатьев, А. П. Матковский

**ИССЛЕДОВАНИЕ ВЛИЯНИЯ ТЕРМОУПРУГОГО РАССЕЯНИЯ  
НА КОЭФФИЦИЕНТ ОТРАЖЕНИЯ ПЛОСКИХ ГАРМОНИЧЕСКИХ ВОЛН  
ОТ ПЛОСКОЙ ГРАНИЦЫ РАЗДЕЛА ЖИДКОСТЬ — ТВЕРДОЕ ТЕЛО**

Отражение плоских гармонических волн на границе раздела жидкость — твердое тело рассматривалось до настоящего времени в основном без учета поглощения волн. Однако в реальных условиях распространяющиеся волны затухают, что вызывается различными факторами, одним из которых является превращение части механической энергии в тепловую. Оказывается, что при определенных условиях термоупругое рассеяние может значительно влиять на отраженную волну. В настоящей работе на основе взаимосвязанных уравнений термоупругости изучено отражение плоских гармонических термоупругих волн на границе раздела жидкость — твердое тело. Приведены условия, при которых термоупругое рассеяние оказывает существенное влияние на отраженную волну, а также обычные условия.

Рассмотрим отражение плоских гармонических волн от границы раздела двух полупространств — жидкости и твердого тела. В дальнейшем и в твердом теле и в жидкости будем учитывать явление термоупругого рассеяния механической энергии.

Движение термоупругого твердого тела описываем исходя из уравнений [5, 3]

$$\mu \Delta \vec{u}_1 + (\lambda + \mu) \text{grad div } \vec{u}_1 + \alpha_T (3\lambda + 2\mu) \text{grad} (T - T_0) = \rho_1 \frac{\partial^2 \vec{u}}{\partial t^2};$$

$$\Delta T - \frac{1}{\kappa_1} \frac{\partial T}{\partial t} - \frac{\gamma_1}{\kappa_1} \frac{\partial}{\partial t} \text{div } \vec{u}_1 = 0.$$

Систему связанных уравнений гидротермоакустики, которая описывает движения в акустической жидкости, запишем в виде [4]

$$-\text{grad div } \vec{u} + \frac{1}{c^2} \frac{\partial^2 \vec{u}}{\partial t^2} + \beta \text{grad} (T - T_0) = 0;$$

$$\Delta T - \frac{1}{\kappa} \frac{\partial T}{\partial t} - \frac{\gamma}{\kappa} \frac{\partial}{\partial t} \text{div } \vec{u} = 0,$$

где  $\vec{u}$  — вектор перемещений;  $\lambda, \mu$  — коэффициенты Ламе;  $\rho$  — плотность;  $T$  — абсолютная температура;  $T_0$  — начальная температура;  $\alpha_T$  — линейный коэффициент температурного расширения твердого тела;  $\beta$  — объемный коэффициент температурного расширения жидкости;  $\kappa$  — температуропроводность;  $\gamma$  — коэффициент термоупругого рассеяния;  $c$  — скорость распространения волн изменения объема жидкости;  $t$  — время. Наличие индекса «1» указывает на принадлежность величин к твердому телу.

Для термоупругой акустической жидкости в случае безвихревых движений, представляя вектор перемещений  $\vec{u}$  в виде

$$\vec{u} = \text{grad } \Phi,$$

на потенциал перемещений  $\Phi$  получаем уравнение

$$\left[ \left( \Delta - \frac{1}{\kappa} \frac{\partial}{\partial t} \right) \left( \Delta - \frac{1}{c^2} \frac{\partial^2}{\partial t^2} \right) - \frac{\beta\gamma}{\kappa} \frac{\partial}{\partial t} \Delta \right] \Phi = 0. \quad (1)$$

Изменение температуры можно выразить через потенциал  $\Phi$ :

$$T - T_0 = \frac{1}{\beta} \left( \Delta - \frac{1}{c^2} \frac{\partial^2}{\partial t^2} \right) \Phi.$$

Для гармонических волн  $\Phi = \varphi(x, y, z) e^{i\omega t}$ , а уравнение (1) принимает вид

$$(\Delta + s_1^2)(\Delta + s_2^2)\varphi = 0, \quad (2)$$

где

$$s_{1,2} = \frac{\omega^2}{2c^2} \left\{ \left( 1 + \frac{1 + \beta\gamma}{i\chi} \right) \pm \left[ 1 - \frac{2(1 - \beta\gamma)}{i\chi} + \left( \frac{1 + \beta\gamma}{i\chi} \right)^2 \right]^{\frac{1}{2}} \right\};$$

$$\chi = \frac{\omega}{\omega^*}; \quad \omega^* = \frac{c^2}{\kappa}; \quad (3)$$

$s_{1,2}$  — волновые числа квазиупругой и квазитепловой волн в жидкости.

Аналогичные рассуждения для твердого тела приводят [3] к волновым числам  $k_1, k_2$  квазиупругой и квазитепловой волн, которые определяются по формулам, аналогичным формулам (2), (3).

Пусть из жидкости на границу раздела с твердым телом под углом  $\theta$  падает квазиупругая волна, которая характеризуется волновым числом  $s_1$ . Зададим падающую волну потенциалом

$$\varphi_{\text{пад}} = e^{is_1(x \sin \theta - z \cos \theta)}.$$

Систему волн в жидкости и твердом теле ищем в виде

$$\varphi = V_1 e^{is_1(x \sin \theta + z \cos \theta)}; \quad \varphi_1 = W_1 e^{ik_1(x \sin \delta_1 - z \cos \delta_1)};$$

$$\psi_1 = P_1 e^{i\kappa_1(x \sin \gamma_1 - z \cos \gamma_1)}.$$

Здесь  $\varphi_1, \psi_1$  — потенциалы продольной и поперечной волн в твердом теле;  $V_1$  — коэффициент отражения;  $W_1, P_1$  — коэффициенты преломления;  $\delta_1, \gamma_1$  — углы между нормальными к фронтам квазиупругой и сдвиговой волн в твердом теле с осью  $z$ ;  $\kappa_1 = \pm \frac{\omega}{c_{\text{сдв}}}$ ;  $c_{\text{сдв}}$  — скорость сдвиговых волн.

Если на границе раздела потребовать непрерывности изменения нормальных перемещений, нормальных и касательных напряжений, а неидеальность сред описывать только с помощью комплексных волновых чисел, как это делается в металлооптике [1], то получим систему уравнений

относительно неизвестных  $V_1, W_1, P_1$ :

$$s_1 \cos \theta V_1 + k_1 \cos \delta_1 W_1 - \kappa_1 \sin \gamma_1 P_1 = s_1 \cos \theta; \quad (4)$$

$$\frac{\rho}{\rho_1} V_1 - \cos 2\gamma_1 W_1 + \sin 2\gamma_1 P_1 = -\frac{\rho}{\rho_1};$$

$$k_1^2 \sin 2\delta_1 W_1 + \kappa_1^2 \cos 2\gamma_1 P_1 = 0,$$

в которой волновые числа  $s_1$  и  $k_1$  являются комплексными.

Система уравнений (4) в случае действительных волновых чисел  $s_1, k_1, \kappa_1$  подробно изучена в работе [2]. Это хорошо известный случай отражения плоских гармонических волн на границе раздела жидкость — твердое тело. Исследование зависимости модуля коэффициента отражения  $|V_1|$  от угла падения  $\theta$  показывает, что при углах падения, совпадающих с  $\theta_a = \arcsin c/c_1$  и  $\theta_b = \arcsin c/c_{сдв}$ , модуль  $V_1$  равен единице (на границе раздела вода — алюминий  $\theta_a \approx 13^\circ, \theta_b \approx 29^\circ$ ). При углах падения, боль-

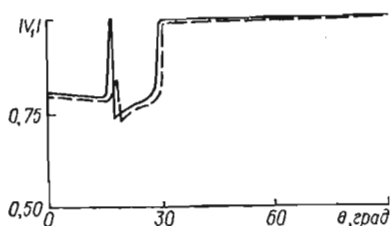


Рис. 1

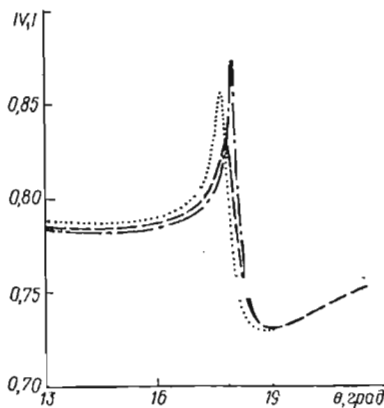


Рис. 2

ших  $29^\circ, |V_1| = 1$ , при всех других углах  $|V_1| < 1$ . Зависимость модуля коэффициента отражения от угла падения для этого случая представлена на рис. 1, 3 сплошной линией.

При распространении волн в термоупругих средах часть энергии расходуется на превращение механической энергии в тепловую, и модуль коэффициента отражения будет меньше единицы. Кроме того, термоупругие среды обладают характерной особенностью: существует частота  $\omega^*$ , часто называемая характеристической частотой среды [3], при достижении которой наступает своего рода резонанс и термоупругие свойства среды (например, рассеивание) проявляются максимально. При наличии двух термоупругих сред — жидкости и твердого тела — существуют две характеристические частоты  $\omega_k^*$  и  $\omega_s^*$ . В случае контакта жидкость — алюминий характеристическая частота алюминия  $\omega_k^* = 4,66 \cdot 10^{11}$  Гц [3], а для жидкости  $\omega_s^* = 1,73 \cdot 10^{16}$  Гц при  $c = 1500$  м/с,  $\kappa = 0,13 \cdot 10^{-8}$  м<sup>2</sup>/с. В дальнейшем нас будет интересовать зависимость модуля коэффициента отражения от угла падения для различных частот. Известно [3, 4], что для больших и малых частот (относительно  $\omega_k^*, \omega_s^*$ ) распространение волн будет происходить при условиях, весьма близких к изотермическим или адиабатическим. При этом скорость распространения волны будет соответственно изотермической или адиабатической, а затухание — пренебрежимо малым. В этих областях частот результаты работы [2] хорошо описывают реальную физическую ситуацию при условии, что для малых частот ( $\omega \ll \omega_k^*$ ) за скорость распространения выбрана адиабатическая скорость, а при больших частотах ( $\omega \gg \omega_s^*$ ) — изотермическая. В случае частот, близких к  $\omega_k^*, \omega_s^*$ , термоупругое рассеивание становится большим, и необходимо анализировать систему уравнений (4) с учетом формул (3).

Рассмотрим вначале частоты, близкие к  $\omega_k^*$ . В этом случае максимально проявляется неупругость твердого тела. На рис. 1 представлена зависимость

модуля коэффициента отражения квазиупругой волны от угла падения при частоте  $\omega = \omega_k^*$  (штриховая линия). Сплошная линия соответствует случаю  $\gamma = \gamma_1 = 0$ , т. е. контакту жидкость — упругое твердое тело. Из сравнения двух кривых видно, что наибольшее отличие наблюдается в районе  $\theta = \theta_a$ . На рис. 2 приведена область углов от  $13$  до  $19^\circ$  для частот, близких к  $\omega_k^*$ . Штриховая линия соответствует частоте  $\omega = \omega_k^*$ , штрихпунктирная — частоте  $\omega = 4\omega_s^*$  и пунктирная — частоте  $\omega = \omega_k^*/4$ . При углах, близких к  $\theta_b$ , наблюдается некоторое увеличение угла, при котором достигается значение  $|V_1|$ , близкое к единице.

Область частот, близкая к  $\omega_s^*$ , является той областью, где наблюдается наибольшее отличие в поле отраженных волн для случаев упругих и термо-

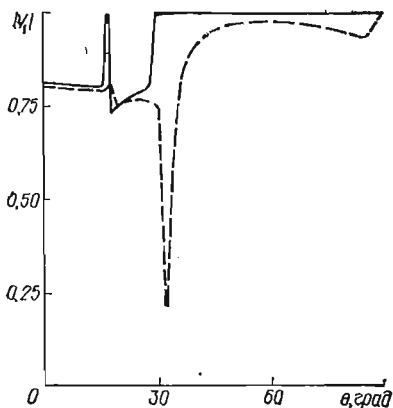


Рис. 3

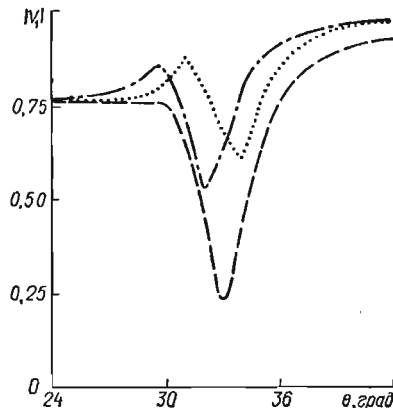


Рис. 4

упругих кусочно-неоднородных сред. Численные результаты для таких частот представлены на рис. 3, 4. Штриховая линия на рис. 3 соответствует частоте  $\omega = \omega_s^*$ , сплошная — случаю  $\gamma = \gamma_1 = 0$ . На рис. 4 приведены численные результаты в области углов, близких к  $\theta_b$ , причем штрихпунктирная линия соответствует частоте  $\omega = 4\omega_s^*$ , пунктирная — частоте  $\omega = \omega_k^*/4$ , а штриховая — частоте  $\omega = \omega_k^*$ .

Таким образом, рассмотрение распространения плоских гармонических волн в кусочно-неоднородном пространстве с плоской границей раздела при учете термоупругого рассеяния позволяет сделать следующие выводы.

1. Влияние термоупругого рассеяния существенно в окрестности частот  $\omega_k^*$  и  $\omega_s^*$ .

2. В случае малых частот ( $\omega \ll \omega_k^*$ ) волновые числа можно считать действительными, а скорость распространения волны — адиабатической.

3. В случае больших частот ( $\omega \gg \omega_s^*$ ) волновые числа также можно считать действительными, а скорость распространения волны — изотермической.

4. Наибольшее влияние на  $|V_1|$  оказывает термоупругое рассеяние в жидкости при частоте, близкой к  $\omega_s^*$ , и оно очень существенно при углах, близких к  $\arcsin c/c_{сдв}$ .

5. Влияние термоупругого рассеяния в твердом теле максимально проявляется при частоте  $\omega_k^*$ , причем наибольшее различие с классическим случаем наблюдается в области углов, близких к  $\arcsin c/c_1$ .

1. Борн М., Вольф Э. Основы оптики.— М.: Наука, 1973.— 720 с.

2. Бреховских Л. М. Волны в слоистых средах.— М.: Наука, 1973.— 344 с.

3. Коваленко А. Д. Основы термоупругости.— Киев: Наук. думка, 1970.— 308 с.

4. Лопатьев А. А., Матковский А. П. Влияние термоупругого рассеяния на волновые процессы в кусочно-неоднородном пространстве с плоской границей раздела.— Докл. АН УССР, Сер. А, 1977, № 2, с. 141—145.

5. Подстригач Я. С. О влиянии термоупругого рассеяния на напряженное состояние деформируемого тела.— Изв. АН СССР. ОТН. Механика и машиностроение, 1969, № 4, с. 73—78.

Институт прикладных проблем механики  
и математики АН УССР

Поступила в редколлегию  
19.07.78

УДК 539.3 : 532.72

Я. И. Бурак, Б. П. Галапац, Е. Я. Чапля

**ИСХОДНЫЕ УРАВНЕНИЯ ПРОЦЕССА ДЕФОРМАЦИИ  
ЭЛЕКТРОПРОВОДНЫХ ТВЕРДЫХ РАСТВОРОВ С УЧЕТОМ  
РАЗЛИЧНЫХ ПУТЕЙ ДИФфуЗИИ ПРИМЕСНЫХ ЧАСТИЦ**

В известных из литературы макроскопических моделях деформируемых твердых растворов процесс диффузии примесных частиц обычно описывается введением усредненных по физически малому объему параметров и характеристик материала модели без конкретизации путей диффузии [6, 7, 9]. В то же время многочисленные экспериментальные исследования диффузии в поликристаллических телах показали, что примесные частицы могут одновременно перемещаться по границам и объему зерен, а также переходить из одного пути перемещения на другой, определяя ряд особенностей процесса диффузии [1, 3, 11]. При этом коэффициенты диффузии на границах зерен на несколько порядков больше, чем внутри их, а энергия активации приблизительно в два раза меньше. В работах [10, 12], исходя из уравнений модели твердых растворов [6, 7, 9], выполнены исследования по оценке влияния границы зерна на процесс диффузии. При этом граница и объем зерна наделялись различными физическими характеристиками.

Целесообразно дальнейшее развитие модельных представлений о процессе деформации электропроводных твердых растворов с учетом различных путей диффузии заряженных частиц примеси применительно к телам мелкозернистой структуры.

Рассмотрим неполяризованное электропроводное упругое тело, которое находится под воздействием внешних силовых нагрузок, температурного и электромагнитного полей. В начальном состоянии тело изотропно, однородно, макроскопически электронейтрально и состоит из ионной подсистемы, коллективизированных электронов проводимости, заряженных частиц примеси. Частицы примеси в пределах физически бесконечно малого объема могут находиться в двух различных состояниях, обозначаемых в дальнейшем посредством  $a$  и  $b$ . В соответствии с этим наряду с процессами деформации, теплопроводности, диффузии и электропроводности будем учитывать также процесс активации, т. е. переход атомов примеси из состояния  $a$  в  $b$  и наоборот.

Для термодинамического описания упомянутых процессов необходимо выбрать параметры локального термодинамического состояния системы. Сопоставим, как обычно [2, 7, 8], процессам теплопроводности, деформации, электропроводности и диффузии параметры  $T$  —  $S$ ;  $\hat{\sigma}$  —  $\hat{e}$ ;  $\Phi$  —  $\omega$ ;  $M'_k$  —  $C_k$  ( $k = \overline{1, 4}$ ) соответственно, где  $T$  — абсолютная температура;  $S$  — удельная энтропия;  $\hat{\sigma} = \{\sigma_{ij}\}$ ,  $\hat{e} = \{e_{ij}\}$  — тензор напряжений и деформаций;  $\Phi$  — термодинамический электрический потенциал (ТЭП);  $\omega$  — удельный электрический заряд;  $C_k = \frac{\rho_k}{\rho}$  — концентрация компонента  $k$ ;  $\rho_k$  — плотность этого компонента;  $\rho = \sum_{k=1}^4 \rho_k$  — суммарная плотность;  $M'_k$  — химический потенциал компонента  $k$ . Примем в дальнейшем, что  $k = 1$  — сопоставляются коллективизированные электроны, обозначаемые также индексом